

九州大学工学部 正員 ○ 上田年比古

九州産業大学工学部 正員 崎山 正常

1. まえがき 海岸付近の地盤に滞留している淡水を取水するとき地盤深部に存在する塩水が淡水中に混入してきて困ることがしばしばある。これは上層淡水の取水によって淡塩界面の圧力が下り、Ghyben-Herzberg の法則によつて淡塩界面が上りてくることに起因している。本報では下層塩水が取水中に混入しない条件のもとで、できるだけ多くの取水量を確保しようとする流れの場を取水溝の外の浸透流が取水溝の中心面に対して二元の対称流で定常であり、かつ地面が水平で等ポテンシャル面である場合について解析した結果を砂模型によつて実験し検討を加えた。

2. 解析 図-1 に示すように上層淡水の単位重量

を γ 、下層塩水のそれを γ' として塩水は流れているとする。溝の側壁は不透水性の矢板壁であり、その厚さは無視できるものとする。このとき図-1 のように座標軸を立らば、 y の負方向の流速を U 、 V とし、速度ポテンシャルを ψ 、流れの間数を Ψ 、複素ポテンシャルを W とすれば

$$U = \frac{\partial \Psi}{\partial x} = \frac{\partial \psi}{\partial y}, \quad V = \frac{\partial \Psi}{\partial y} = -\frac{\partial \psi}{\partial x} \quad \dots(1)$$

$$\omega = \Psi + i\psi \quad \dots(2)$$

次に、流れの場の任意面における全水頭を x 軸を基準にとつて表し、その奥にあける圧力を P とすれば

$$h = (P/\gamma) + y \quad \dots(3)$$

一方、透水係数を k とすると Darcy の法則は

$$U = k \frac{\partial h}{\partial x}, \quad V = k \frac{\partial h}{\partial y} \quad \dots(4)$$

$$\text{したがって } \Psi = k \{(P/\gamma) + y\} \quad \dots(5)$$

次に、淡塩界面の諸種の物理量に添字 s を付して

$$\text{あらわすと、まず圧力は } P_s = \gamma H_o + \gamma'(-y_s + S) \quad \dots(6)$$

$$\text{これが(5)式に適用して } \Psi_s = k \{H_o + (1+\epsilon)S\} - k \epsilon y_s \quad \dots(7)$$

$$\text{ここで } \epsilon = (y' - y)/y \quad \dots(8)$$

(7)式に $h = \Psi + \epsilon \Psi$ を代入すると

$$\left. \begin{aligned} \Omega_1 &= \Psi + k \epsilon y, \quad \Omega_2 = \Psi - k \epsilon x \\ \Omega &= \Omega_1 + i \Omega_2 = W - i k \epsilon z, \quad z = x + iy \end{aligned} \right\} \quad \dots(9)$$

これらについて図-1 の流れの場の境界条件を整理し W および Ω 平面を画けば図-2(a) および図-3(a)

のようになる。この W 平面と Ω 平面を関係づける媒介平面 $t = \bar{s} + i\bar{y}$ を図-2(b) および図-3(b) のよ

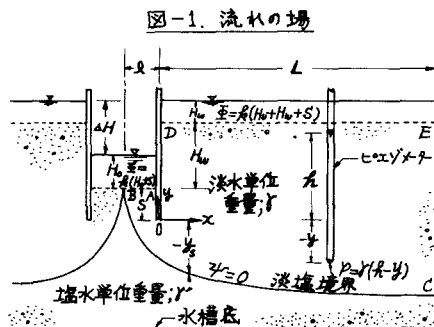


図-1. 流れの場

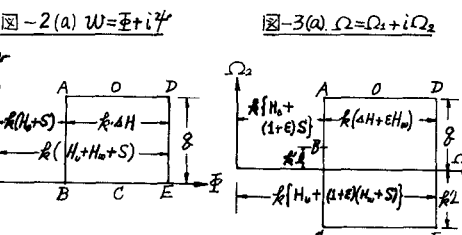
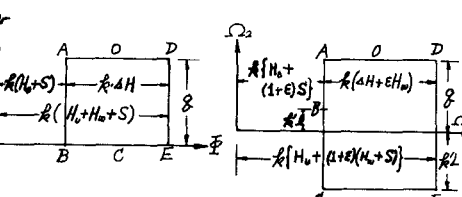
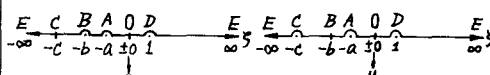
図-2(a) $W = \Psi + i\psi$ 図-3(a) $\Omega = \Omega_1 + i\Omega_2$ 

図-2(b)

W 平面上に対する $t = \bar{s} + i\bar{y}$ Ω 平面上に対する $t = \bar{s} + i\bar{y}$



うにえらべば Schwarz-Christoffel の定理によつて W および Ω 平面上の t 平面上への写像関数は

$$W = -N \int \frac{dt}{\sqrt{-(b-t)} \sqrt{(-a-t)} \sqrt{(1-t)}} \quad \dots(10)$$

$$\Omega = -M \int \frac{dt}{\sqrt{(-c-t)} \sqrt{(-a-t)} \sqrt{(1-t)}} \quad \dots(11)$$

ここに N, M, a, b および c などの定数は W および Ω 平面上の境界条件によって決定される定数で

ある。さて、 τ 平面の実軸は W および Ω 平面の境界に対応しているので、(10) および (11) 式に對して実数積分を行つて解析結果によつて、与えられた流出の場に対する未知定数の決定手順を計算に便利なように整頓すると

$$\frac{c}{b} = \lambda = \frac{H^2}{m^2} \left\{ \left(1 + \varepsilon \frac{H_w}{AH} \right) \frac{K(m)}{K(m')} \right\}^2, \quad \frac{g}{R \cdot AH} = \frac{K(m')}{K(m)} \quad (12)$$

$$a = \frac{\kappa^2 m^2 (\lambda - 1)}{\lambda m^2 - \kappa^2} - 1, \quad b = \frac{\kappa^2 m^2}{\lambda m^2 - \kappa^2}, \quad c = \lambda b \quad (13)$$

$$\varepsilon \frac{L}{AH} = \left(1 + \varepsilon \frac{H_w}{AH} \right) \frac{K(m)}{K(m')} - \frac{K(m')}{K(m)} \quad (14)$$

$$m^2 + m'^2 = 1, \quad \kappa^2 + \kappa'^2 = 1, \quad m^2 < \kappa^2 \quad (15)$$

$$\sin \theta_0 = \sqrt{a(b+1)/\{b(a+1)\}}, \quad \sin \theta_0' = \sqrt{a(c+1)/\{c(a+1)\}} \quad (16)$$

$$\varepsilon \frac{S}{AH} = \frac{F(x, \theta_0)}{K(\kappa)} - \left(1 + \varepsilon \frac{H_w}{AH} \right) \frac{F(m, \theta_0)}{K(m)} \quad (17)$$

$$\sin \theta_0 = \kappa/m', \quad \varepsilon \frac{L}{AH} = \frac{K(m')}{K(m)} - \left(1 + \varepsilon \frac{H_w}{AH} \right) \frac{F(m', \theta_0)}{K(m')} \quad (18)$$

$$v = \sqrt{1+b}/2, \quad \mu = \sqrt{1+c}/2 \quad (19)$$

$$N = R \cdot AH \cdot v / K(\kappa), \quad M = R \cdot AH \cdot (1 + \varepsilon \frac{H_w}{AH}) \cdot \mu / K(m) \quad (20)$$

ここで $F(x, \theta)$ および $K(\kappa)$ は反 E 母数とする第一種橋円積分およびその完全積分である。すなはち、

1). 与えられた $\varepsilon H_w/AH$ に対して κ^2 (ひいては流量) を仮定し m^2 を仮定すると (14) 式で $\varepsilon L/AH$ が定まるがこれが与えられた $\varepsilon L/AH$ にたどりまで m^2 をかえて試算する。

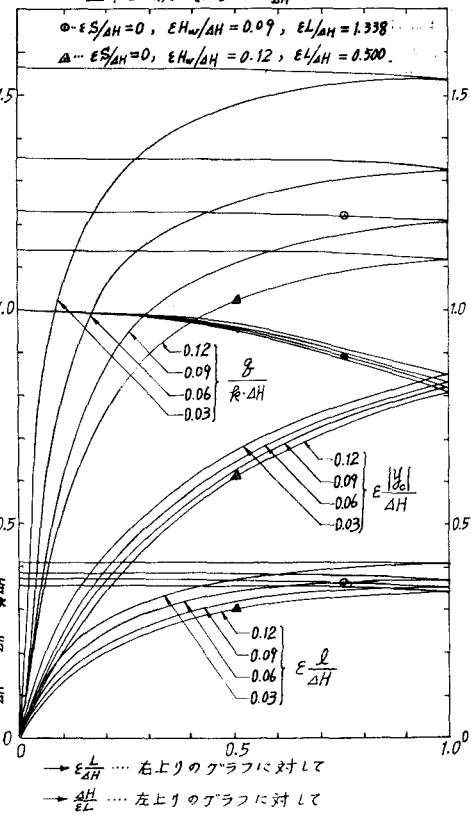
2). このようにして与えられた $\varepsilon H_w/AH$ および $\varepsilon L/AH$ に対して κ^2 および m^2 が定まつたらば (13) 式で a, b および c が定まるから (16) 式を満たして (17) 式で $\varepsilon S/AH$ が定まる。これが与えられた $\varepsilon S/AH$ に等しくなければ 1) で当初に仮定した κ^2 の仮定をかえて 1), 2) の手順をくりかえす。そうすると $\varepsilon L/AH$ が (18) 式で定まり、(19) 式を満たして (20) 式で N および M が定まるから全ての未知数が定まる。次に、淡塩界面の曲線式は

$$\begin{cases} -c \leq t \leq -b \\ \sin \theta = \sqrt{(c+1)(-a-t)/(c(-a)(1-t))}, \quad \sin \theta' = \sqrt{(-b-t)/(-a-t)} \\ \varepsilon \frac{x_s}{AH} = \left(1 + \varepsilon \frac{H_w}{AH} \right) \frac{F(\theta, m')}{K(m)} - \frac{K(m')}{K(m)} \\ \varepsilon \frac{y_s}{AH} = \varepsilon \frac{S}{AH} - \frac{F(x, \theta)}{K(\kappa)} \end{cases}$$

図-4. 数値計算の結果

根入長 $S=0$ の場合

図中記載の数字は $\varepsilon \frac{H_w}{AH}$ の値



3. 数値計算および実験 本解析の結果を用ひ $S = 0$ の場合について $\varepsilon H_w/AH$ に数種の値を与えて行った数値計算の結果を図-4に示してある。はつきの図で $AH/(EL) = 0$ の線上の値は $L = \infty$ の場合について別途解析した結果を用いて数値計算を行つたものである。これらの数値計算の結果を数種の断面について行った実験結果と比較して、流量および淡塩界面の形状など主要な境界値について、本般の理論は実験とよく一致することことが確かめられた。図-4に示した○および△印は同図に注記の断面に対する実験値である。

4. 志すび $\varepsilon H_w/AH$ および $\varepsilon L/AH$ は与えられた $\varepsilon L/AH$ が主にこれは実験的取水溝幅 ($2l$) を決める指標となる。参考文献 1). 上田・崎山; 淡水波上げによる淡塩界面の上昇について。土木学会西部支部研究会論文集、昭和42年1月。